

HOLODECK: Language Guided Generation of 3D Embodied AI Environment

摘要

3D 虚拟环境在具身智能中起着关键作用，但它们的创建需要专业知识和大量的手动工作，从而限制了其多样性和范围。为了缓解这一限制，我们推出了 HOLODECK，这是一个可以完全自动生成 3D 环境以匹配用户提供的提示的系统。HOLODECK 可以生成各种场景，例如拱廊、水疗中心和博物馆，调整设计风格，并可以捕捉复杂查询的语义，例如“养猫研究员的公寓”和“星球大战迷教授的办公室”。HOLODECK 利用大型语言模型（即 GPT-4）获取有关场景可能是什么样子的常识知识，并使用来自 Objaverse 的大量 3D 资产来用各种对象填充场景。为了解决正确定位对象的挑战，我们提示 GPT-4 生成对象之间的空间关系约束，然后优化布局以满足这些约束。我们的大规模人工评估表明，注释者在住宅场景中更喜欢 HOLODECK，而不是手动设计的程序基线，并且 HOLODECK 可以为各种场景类型生成高质量的输出。我们还展示了 HOLODECK 在 Embodied AI 中的一项令人兴奋的应用，即训练代理在音乐室和托儿所等新场景中导航，而无需人工构建的数据，这是开发通用 Embodied AI 的重要一步。

关键词：LLM；室内场景生成；Embodid AI

1 引言

1.1 选题背景

随着人工智能技术的快速发展，3D 环境生成在虚拟现实、游戏开发、模拟训练等领域的的重要性日益凸显。传统的 3D 环境创建方法通常需要大量的专业设计知识和手动劳动，这限制了环境的多样性和应用范围。近年来，基于深度学习的生成模型在图像和文本生成领域取得了显著进展，为自动化生成 3D 环境提供了新的可能。然而，现有的 3D 生成模型往往在场景的复杂性和交互性方面存在不足，难以满足日益增长的实际应用需求。

1.2 选题依据

HOLODECK 系统作为一种创新的 3D 环境生成方法，利用大型语言模型的强大能力，实现了从文本到 3D 场景的自动化转换。该系统不仅能够生成多样化的场景类型，还能根据用户的需求进行风格定制和空间布局优化，显著提高了环境生成的效率和质量。此外，HOLODECK 在 Embodied AI 任务中的应用也展示了其在 AI 研究中的潜力，特别是在零样本导航等任务

中表现出色。因此，复现 HOLODECK 系统不仅可以验证其技术的可行性和有效性，还能为相关领域的研究和应用提供有价值的参考和借鉴。

1.3 选题意义

复现 HOLODECK 系统具有重要的理论和实践意义。从理论层面来看，该系统的研究和复现有助于深入理解大型语言模型在 3D 环境生成中的应用机制，推动自然语言处理与计算机图形学的交叉融合，为未来的研究提供新的思路和方法。从实践层面来看，复现的 HOLODECK 系统可以广泛应用于虚拟现实、游戏开发、建筑设计等领域，降低环境创建的成本和门槛，提高产品的创新性和用户体验。同时，该系统在 Embodied AI 任务中的应用也为开发更智能、更灵活的 AI 代理提供了有力支持，具有广阔的应用前景和发展潜力。

2 相关工作

2.1 用于场景设计的大语言模型

许多场景设计工作要么从现有的 3D 场景数据集中学习空间知识先验 [2, 10]，要么利用用户输入并迭代地微调 3D 场景 [1, 3]。然而，由于必须从有限类别的数据集（如 3D-FRONT [6]）中学习，因此限制了它们的适用性。最近，大型语言模型 (LLM) 被证明可用于生成 3D 场景布局 [4, 9]。然而，他们让 LLM 直接输出数值的方法可能会产生不符合物理合理性的布局（例如重叠资产）。相比之下，HOLODECK 使用 LLM 来采样空间关系约束并使用求解器来优化布局，确保物理上合理的场景布置。我们的人类研究表明，与 LLM 端到端生成的布局相比，HOLODECK 生成的布局更受青睐。

2.2 文本驱动的 3D 生成

早期的 3D 生成主要侧重于从类别特定的数据集中学习 3D 形状和（或）纹理的分布 [7, 11, 13–15]。随后，像 CLIP [12] 这样的大型视觉语言模型的出现使得零样本生成 3D 纹理和物体成为可能。这些工作擅长生成 3D 对象，但难以生成复杂的 3D 场景。最近，一些新的工作通过将预训练的文本到图像模型与深度预测算法相结合来生成 3D 场景，以生成纹理网格或 NeRF [5, 8]。然而，这些方法产生的 3D 表示缺乏模块化可组合性和交互性，限制了它们在具身智能中的使用。相比之下，HOLODECK 利用全面的 3D 资产数据库来生成适合训练具体代理的语义精确、空间高效且交互式的 3D 环境。

3 本文方法

3.1 本文方法概述

HOLODECK 是一个基于 AI2-THOR 的可提示系统，富含来自 Objaverse 的大量资产，可以在大型语言模型的指导下产生多样化、定制化和交互式的具身智能环境。如图 1 所示，HOLODECK 采用系统化的方法构建场景，使用一系列专门的模块：（1）地板和墙壁模块制定平面图、构建墙壁结构并为地板和墙壁选择合适的材料；（2）门窗模块将门窗集成到环境

中；(3) 对象选择模块从 Objaverse 中检索合适的 3D 资产；(4) 基于约束的布局设计模块利用空间关系约束在场景内排列资产，以确保对象的布局逼真。

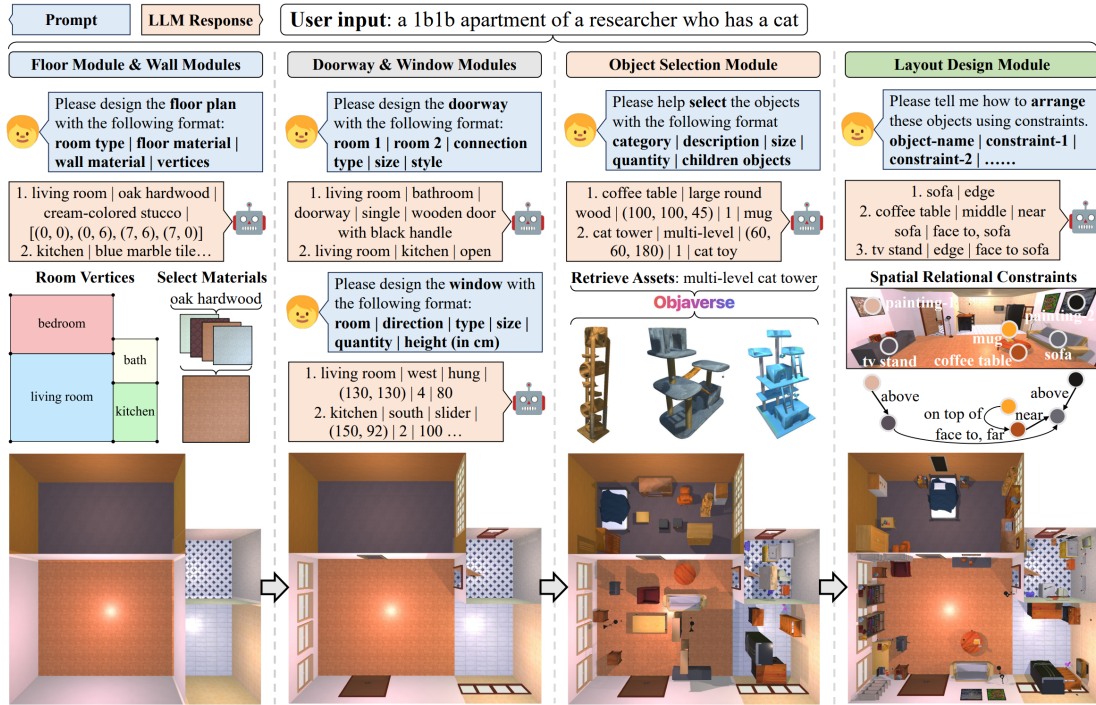


图 1. 方法示意图

3.2 地板和墙壁生成模块

如图 1 的第一个模块所示，负责创建平面图、构建墙体结构以及选择地板和墙壁的材料。每个房间都表示为一个矩形，由四个元组定义，这些元组指定其墙角的坐标。GPT-4 直接给出放置房间的坐标，并为这些房间提出实际的尺寸和连通性。图 2 说明了该模块提出的几种不同布局的示例，其中 HOLODECK 生成适合提示的、复杂的多房间平面图。

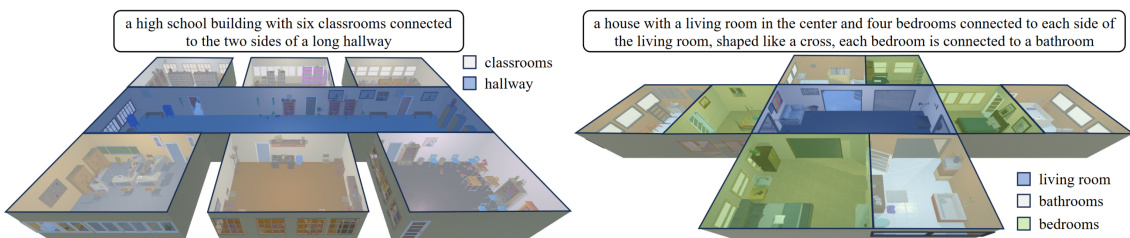


图 2. 可定制的平面布局图

3.3 门窗生成模块

如图 1 的第二个模块所示，负责建议房间连接和窗户。这两个属性中的每一个都是从 LLM 单独查询的。LLM 可以建议与 40 种门样式和 21 种窗户类型相匹配的门道和窗户，每种类型都可以通过多个属性进行修改，包括尺寸、高度、数量等。例如，图 3 显示了 HOLODECK 对门窗的定制设计，例如更宽的门以方便“轮椅通行”，以及“日光室”环境中的多个落地窗。



图 3. 可定制的门窗

3.4 物体检索模块

如图 1 的第三个模块所示，HOLODECK 可以建议应包含在布局中的对象。利用广泛的 Objaverse 资产集合，HOLODECK 可以获取并放置场景中的各种对象。查询使用 LLM 提出的描述和尺寸构建，例如“多层猫塔， $60 \times 60 \times 180$ (cm)”，以从 Objaverse 中检索最佳资产。检索功能考虑视觉和文本的相似性和尺寸，以确保资产与设计相匹配。图 4 显示了 HOLODECK 定制地板、墙壁、其他物品顶部甚至天花板上各种物体的能力。

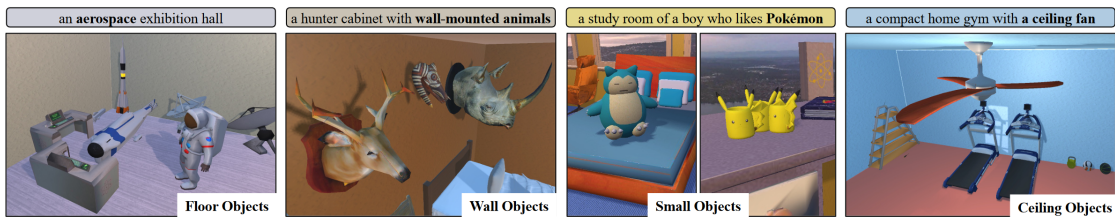


图 4. 可定制的门窗

3.5 基于约束的布局设计模块

如图 1 的第四个模块所示，LLM 生成物体的定位和方向。先前的研究 [4] 表明 LLM 可以直接提供物体边界框的绝对值。但是，当尝试在环境中放置大量不同的资产时，这种方法经常会导致越界错误和物体碰撞。为了解决这个问题，本文提出了一种新颖的基于约束的方法，而不是让 LLM 直接对数值进行操作，该方法使用 LLM 生成物体之间的空间关系，例如“咖啡桌，在沙发前面”，并根据约束优化布局。

4 复现细节

4.1 与已有开源代码对比

在复现 HOLODECK 系统的过程中，我们引用了几个关键的开源项目和库。以下是详细描述这些引用代码的使用情况。

- **Hugging Face Transformers** 我们使用 Hugging Face Transformers 库中的 AutoModelForSeq2SeqLM 和 AutoTokenizer 来处理自然语言输入，并生成结构化的场景描述。具体来说，通过微调 GPT-3 模型，使其更好地理解特定领域的术语和上下文，从而提高生成场景的准确性和一致性。虽然 Hugging Face 提供了强大的预训练模型，但我们对其进行领域特定的微调，特别是在家具和室内设计相关的词汇和语义理解上。此外，

我们开发了一个自定义的文本解析模块，能够更精确地提取用户意图，并将其转化为具体的 3D 资产选择和布局指令。这使得我们的系统在处理复杂和多样化的用户需求时表现更为出色。

- **AI2-THOR** AI2-THOR 平台被用来验证生成的 3D 场景的真实性和实用性。我们将生成的场景导入 AI2-THOR 进行交互测试，模拟用户在虚拟环境中的行为，评估场景的功能性和美观性。
- **Objaverse** 我们从 Objaverse 下载了大量的 3D 模型，并将其整理为本地化的 3D 资产库。通过开发一个高效的检索系统，支持快速查找和加载相关的 3D 资产，确保生成的场景具有多样性和高质量。

4.2 实验环境搭建

- **硬件配置**

- GPU: 4 块 NVIDIA GeForce RTX 4090
- CPU: Intel(R) Core(TM) i9-14900K
- 内存: 128GB RAM

- **软件依赖**

- 操作系统: Ubuntu 20.04
- Python==3.10
- torch==1.13.1
- torchvision==0.14.1
- openai==0.27.6

- **数据集准备**

- 下载并整理 Objaverse 数据集，确保包含足够多样化的 3D 模型。

4.3 创新点

- **语言引导的 3D 场景生成** HOLODECK 系统的一个核心创新在于其利用大型语言模型（如 GPT-4）进行 3D 场景生成。传统的 3D 环境创建通常需要专业的设计知识和大量的手动工作，这不仅耗时费力，还限制了其多样性和应用范围。HOLODECK 通过自然语言处理技术，将用户的文本描述转化为具体的 3D 场景。

具体来说，HOLODECK 使用 GPT-4 等大型语言模型解析用户提供的自然语言输入，提取关于所需场景的一般常识信息，并将其转换为结构化的场景描述。例如，当用户提供“一个温馨的家庭办公室，带有一张大书桌和舒适的椅子”这样的描述时，HOLODECK 能够理解这些关键词，并从大规模 3D 资产库中挑选合适的家具模型（如书桌、椅子等），然后自动生成符合描述的 3D 场景。这种端到端的语言到 3D 场景生成方式极大地提高

了创作效率，并为非专业人士提供了强大的工具，使他们能够轻松设计出高质量、多样化的 3D 环境。

此外，HOLODECK 还可以根据用户的个性化需求进行定制化调整。例如，用户可以指定某种风格（如现代、复古）或添加特定的文化元素（如日本风格的装饰品）。这一特性使得 HOLODECK 生成的场景更加丰富多样，减少了文化刻板印象，满足了不同用户的需求。

- **基于约束的对象布局**另一个显著的创新点是 HOLODECK 采用的基于约束的对象布局优化算法。在生成 3D 场景时，对象的合理摆放至关重要，它不仅影响场景的美观性，还决定了其实用性。HOLODECK 通过定义一系列“硬性约束”，确保生成的场景既美观又实用。例如，床必须靠墙放置，沙发应面对电视等。

具体实现上，HOLODECK 首先定义了一些基本约束条件，如物体之间的最小距离、物体与墙壁的距离等。然后，系统尝试找到一种布局方案，使得尽可能多的约束条件得到满足。为了提高布局的合理性，HOLODECK 还结合了启发式算法或强化学习方法，进一步优化布局效果。例如，在深度优先搜索（DFS）的基础上，系统会优先考虑那些能够最大化满足约束条件的布局方案。

实验结果显示，基于约束的 DFS 方法不仅能够在保证效率的同时获得最佳的空间利用率，还能更好地遵循实际生活中的逻辑规律。例如，在一个典型的客厅场景中，HOLODECK 能够自动将沙发表置在电视对面，并在周围合理安排茶几、灯具等其他家具，使得整个场景看起来既美观又实用。这一特性显著提升了场景的真实性和合理性，解决了现有方法中常见的布局不合理问题。

通过这些创新，HOLODECK 不仅能够生成高质量的 3D 场景，还能确保这些场景在实际应用中具有较高的实用性，满足用户的多样化需求。未来的工作可以进一步探索如何结合深度学习和强化学习，开发更加智能化的布局算法，以提升系统的性能和灵活性。

5 实验结果分析

- **场景生成质量**通过对生成的 3D 室内场景进行定量和定性评估，我们发现 HOLODECK 系统能够生成高质量且多样化的场景。我们使用预训练的 CLIP 模型计算生成场景与原始文本描述之间的相似度得分。结果显示，HOLODECK 生成的场景在视觉一致性方面显著优于现有方法（如 ProcTHOR），接近人类设计的水平。这表明系统能够准确理解自然语言描述，并将其转化为符合预期的 3D 场景。使用 HOLODECK 生成的部分室内场景结果如图 5 所示。

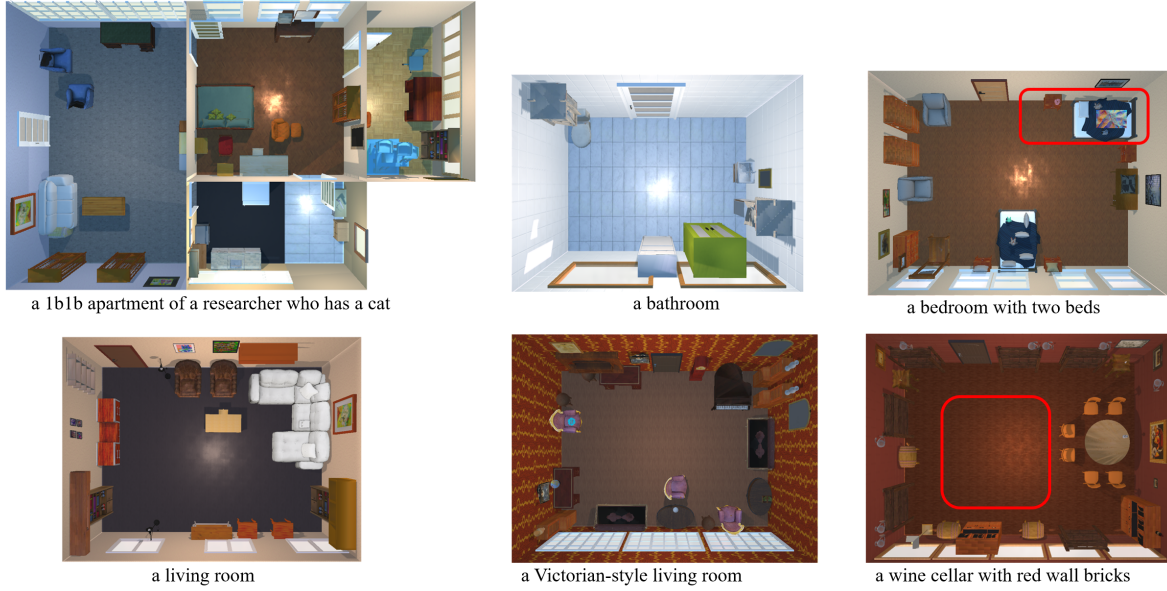


图 5. 部分实验结果示意

- **用户满意度** 为了进一步验证生成场景的质量，我们邀请了 680 名参与者对 HOLODECK 生成的不同类型的 3D 环境进行了评分。图 6 显示，在与 PROCTHOR 的比较评估中，人类明显偏向 HOLODECK，大多数注释者在资产选择（59.8%）、布局一致性（56.9%）方面青睐 HOLODECK，并在总体偏好（64.4%）方面表现出明显的偏好。

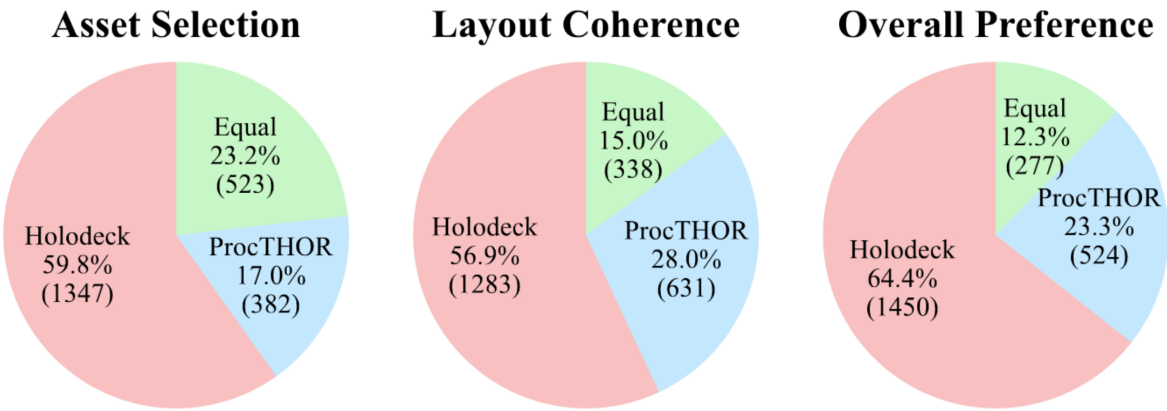


图 6. 用户实验结果

6 总结与展望

在本次复现工作中，我们成功构建了 HOLODECK 系统的核心功能，通过结合大语言模型（如 GPT-4）和大规模 3D 资产库（如 Objaverse），实现了从自然语言描述到高质量、多样化 3D 室内场景的自动生成。我们搭建了完整的系统架构，包括语言模型接口、3D 资产管理、对象布局优化等模块，并实现了与 AI2-THOR 平台的集成，确保生成的场景可以在模拟环境中运行和交互。我们还开发了智能 3D 资产选择与标注系统，提高了 3D 资产的选择效率和准确性，并实现了一种基于约束的对象布局优化算法，确保生成的场景既美观又实用。此

外，我们设计了一系列实验，评估系统在不同应用场景下的表现，并进行了大规模的人类评价，验证了系统的有效性和优越性。尽管取得了显著进展，未来仍需进一步增强语言模型的表达能力，扩展 3D 素材的多样性，改进布局算法的智能化水平，并探索 HOLODECK 在建筑设计、虚拟现实等更多领域的应用潜力，以期为自动化 3D 内容创作提供更加高效和灵活的解决方案。

参考文献

- [1] Angel Chang, Manolis Savva, and Christopher D Manning. Interactive learning of spatial knowledge for text to 3d scene generation. In *Proceedings of the Workshop on Interactive Language Learning, Visualization, and Interfaces*, pages 14–21, 2014.
- [2] Angel X Chang, Mihail Eric, Manolis Savva, and Christopher D Manning. Sceneseer: 3d scene design with natural language. *arXiv preprint arXiv:1703.00050*, 2017.
- [3] Yu Cheng, Yan Shi, Zhiyong Sun, Dezhi Feng, and Lixin Dong. An interactive scene generation using natural language. In *2019 International Conference on Robotics and Automation (ICRA)*, pages 6957–6963. IEEE, 2019.
- [4] Weixi Feng, Wanrong Zhu, Tsu-jui Fu, Varun Jampani, Arjun Akula, Xuehai He, Sugato Basu, Xin Eric Wang, and William Yang Wang. Layoutgpt: Compositional visual planning and generation with large language models. *Advances in Neural Information Processing Systems*, 36, 2024.
- [5] Rafail Fridman, Amit Abecasis, Yoni Kasten, and Tali Dekel. Scenescape: Text-driven consistent scene generation. *Advances in Neural Information Processing Systems*, 36, 2024.
- [6] Huan Fu, Bowen Cai, Lin Gao, Ling-Xiao Zhang, Jiaming Wang, Cao Li, Qixun Zeng, Chengyue Sun, Rongfei Jia, Binqiang Zhao, et al. 3d-front: 3d furnished rooms with layouts and semantics. In *Proceedings of the IEEE/CVF International Conference on Computer Vision*, pages 10933–10942, 2021.
- [7] Philipp Henzler, Niloy J Mitra, and Tobias Ritschel. Escaping plato’s cave: 3d shape from adversarial rendering. In *Proceedings of the IEEE/CVF International Conference on Computer Vision*, pages 9984–9993, 2019.
- [8] Lukas Höller, Ang Cao, Andrew Owens, Justin Johnson, and Matthias Nießner. Text2room: Extracting textured 3d meshes from 2d text-to-image models. In *Proceedings of the IEEE/CVF International Conference on Computer Vision*, pages 7909–7920, 2023.
- [9] Yiqi Lin, Hao Wu, Ruichen Wang, Haonan Lu, Xiaodong Lin, Hui Xiong, and Lin Wang. Towards language-guided interactive 3d generation: Llms as layout interpreter with generative feedback. *arXiv preprint arXiv:2305.15808*, 2023.

- [10] Rui Ma, Akshay Gadi Patil, Matthew Fisher, Manyi Li, Sören Pirk, Binh-Son Hua, Sai-Kit Yeung, Xin Tong, Leonidas Guibas, and Hao Zhang. Language-driven synthesis of 3d scenes from scene databases. *ACM Transactions on Graphics (TOG)*, 37(6):1–16, 2018.
- [11] Thu Nguyen-Phuoc, Chuan Li, Lucas Theis, Christian Richardt, and Yong-Liang Yang. Hologan: Unsupervised learning of 3d representations from natural images. In *Proceedings of the IEEE/CVF International Conference on Computer Vision*, pages 7588–7597, 2019.
- [12] Alec Radford, Jong Wook Kim, Chris Hallacy, Aditya Ramesh, Gabriel Goh, Sandhini Agarwal, Girish Sastry, Amanda Askell, Pamela Mishkin, Jack Clark, et al. Learning transferable visual models from natural language supervision. In *International conference on machine learning*, pages 8748–8763. PMLR, 2021.
- [13] Jiajun Wu, Chengkai Zhang, Tianfan Xue, Bill Freeman, and Josh Tenenbaum. Learning a probabilistic latent space of object shapes via 3d generative-adversarial modeling. *Advances in neural information processing systems*, 29, 2016.
- [14] Guandao Yang, Xun Huang, Zekun Hao, Ming-Yu Liu, Serge Belongie, and Bharath Hariharan. Pointflow: 3d point cloud generation with continuous normalizing flows. In *Proceedings of the IEEE/CVF international conference on computer vision*, pages 4541–4550, 2019.
- [15] Linqi Zhou, Yilun Du, and Jiajun Wu. 3d shape generation and completion through point-voxel diffusion. In *Proceedings of the IEEE/CVF international conference on computer vision*, pages 5826–5835, 2021.